

10. Přílohy

Příloha 1 Klasifikace klimatických oblastí ČR podle Quitta (1971) – charakteristika klimatických rajónů (jednotek), do kterých spadají stanice použité pro analýzu.....	80
Příloha 2 Grafické vyjádření jednotlivých synoptických situací.....	81
Příloha 3 Kalendář synoptických situací ze dnů 12., 13. a 14. květen v období 1991–2010....	85
Příloha 4 Histogramy synoptických situací objevující se během 12.–14. května 1991–2010...	86
Příloha 5 Tabulka trendů <i>sumy t min průměrná</i> u jednotlivých skupin za období 1991–2010.....	89
Příloha 6 Tabulka trendů <i>sumy t max průměrná</i> u jednotlivých skupin za období 1991–2010.....	89

Příloha 1 Klasifikace klimatických oblastí ČR podle Quitta (1971) – charakteristika klimatických rajónů (jednotek), do kterých spadají stanice použité pro analýzu

klimatologická charakteristika	T2	MT2	MT4	MT5	MT7	MT10	CH6	CH7
Počet letních dní	50 - 60	20 - 30	20 - 30	30 - 40	30 - 40	40 - 50	10 - 30	10 - 30
Počet dní s průměrnou t = 10 °C a více	160 - 170	140 - 160	140 - 160	140 - 160	140 - 160	140 - 160	120 - 140	120 - 140
Počet dní s mrazem	100 - 110	110 - 130	110 - 130	130 - 140	110 - 130	110 - 130	140 - 160	140 - 160
Počet ledových dní	30 - 40	40 - 50	40 - 50	40 - 50	40 - 50	30 - 40	60 - 70	50 - 60
Průměrná teplota leden (°C)	-2 až -3	-3 až -4	-2 až -3	-4 až -5	-2 až -3	-2 až -3	-4 až -5	-3 až -4
Průměrná teplota červenec (°C)	18 - 19	16 - 17	16 - 17	16 - 17	16 - 17	17-18	14 - 15	15 - 16
Průměrná teplota duben (°C)	8 - 9	6 - 7	6 - 7	6 - 7	6 - 7	7 - 8	2 - 4	4 - 6
Průměrná teplota říjen (°C)	7 - 9	6 - 7	6 - 7	6 - 7	7 - 8	7 - 8	5 - 7	6 - 8
Průměr. počet dní se srážkami 1 mm a více	90 - 100	120 - 130	110 - 120	100 - 120	100 - 120	100 - 120	140 - 160	120 - 130
Suma srážek ve vegetačním období	350 - 400	450 - 500	350 - 450	350 - 450	400 - 450	400 - 450	600 - 700	500 - 600
Suma srážek v zimním období	200 - 300	250 - 300	250 - 300	250 - 300	250 - 300	200 - 250	400 - 500	350 - 400
Počet dní se sněhovou pokrývkou	40 - 50	80 - 100	60 - 80	60 - 100	60 - 80	50 - 60	120 - 140	100 - 120
Počet zatažených dní	120 - 140	150 - 160	150 - 160	120 - 150	120 - 150	120 - 150	150 - 160	150 - 160
Počet jasných dní	40 - 50	40 - 50	40 - 50	50 - 60	40 - 50	40 - 50	40 - 50	40 - 50

Quittova klasifikace pracuje s komplexem 14 klimatologických charakteristik, pomocí jejichž kombinací hodnot rozlišuje na území ČSSR 23 klimatických rajónů (jednotek) ve třech klimatických oblastech (teplá, mírně teplá a chladná). V teplé oblasti se nachází 5 jednotek (T1 nejchladnější nejvlhčí, T5 nejteplejší nejsušší), v mírně teplé 11 (MT1 nejchladnější nejvlhčí, MT11 nejteplejší nejsušší) a chladné 7 (CH1 nejstudenější, CH7 nejteplejší). Na území ČR nacházejí 2 teplé jednotky, 8 mírně teplých a 3 chladné. Původní klasifikace vychází z hodnot odečtených z Atlasu podnebí Československé republiky z roku 1958, revize a aktualizace je publikována v Atlasu podnebí Česka z roku 2007 (Tolasz, 2007).

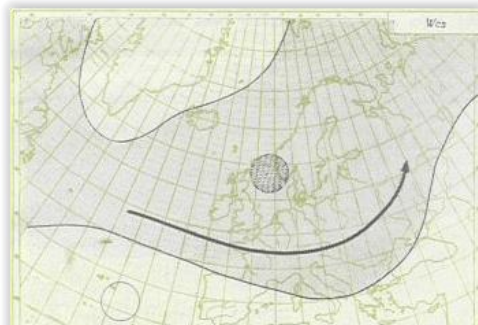
Pozn.: barevné rozlišení tabulky: oranžová (teplá oblast), žlutá (mírně teplá oblast), modrá (studená oblast); použité zkratky: T (teplá oblast), MT (mírně teplá oblast), CH (chladná oblast)

Příloha 2 Grafické vyjádření jednotlivých synoptických situací

převzato z: <http://portal.chmi.cz/historicka-data/pocasi/typizace-povetnostnich-situaci>



Wc - západní cyklonální situace



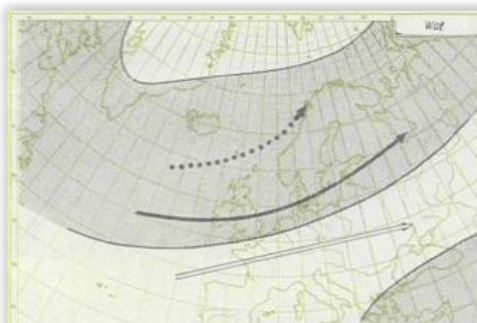
Wcs - západní cyklonální sit. s jižní dráhou



Wa - západní anticyklonální situace (1. skup.)



Wa - západní anticyklonální situace (2. skup.)



Wal - západní anticyklon. sit. letního typu



NWc - severozápadní cyklonální situace



NWa - severozápadní anticyklonální situace



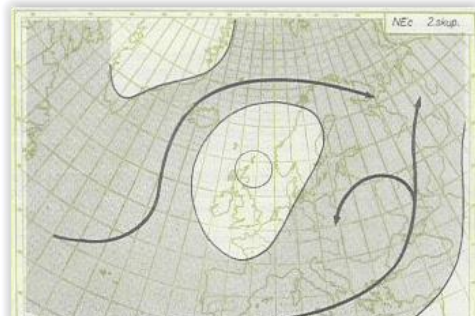
Nc - Severní cyklonální situace

Příloha 2 Grafické vyjádření jednotlivých synoptických situací

převzato z: <http://portal.chmi.cz/historicka-data/pocasi/typizace-povetnostnich-situaci>



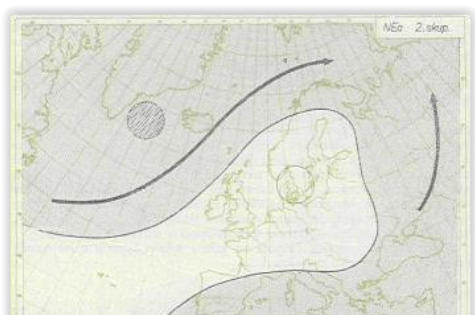
NEc - severovýchodní cyklonální sit. (1. skup.)



NEc - severovýchodní cyklonální sit. (2. skup.)



NEa - severovýchodní anticykl. sit. (1. skup.)



NEa - severovýchodní anticykl. sit. (2. skup.)



Ec - východní cyklonální situace (1. skup.)



Ec - východní cyklonální situace (2. skup.)



Ea - východní anticyklonální situace (1. skup.)



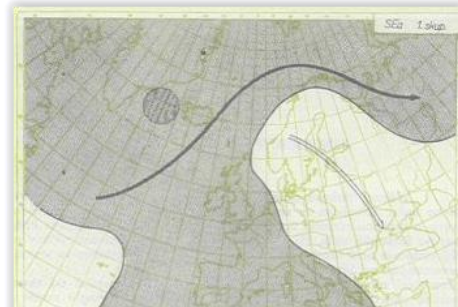
Ea - východní anticyklonální situace (2. skup.)

Příloha 2 Grafické vyjádření jednotlivých synoptických situací

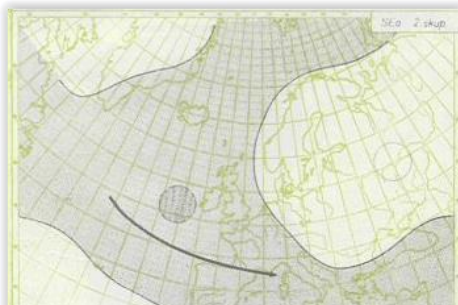
převzato z: <http://portal.chmi.cz/historicka-data/pocasi/typizace-povetnostnich-situaci>



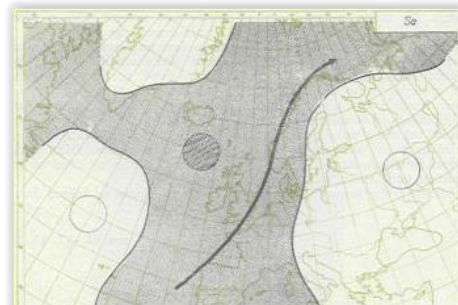
SEc - jihovýchodní cyklonální situace



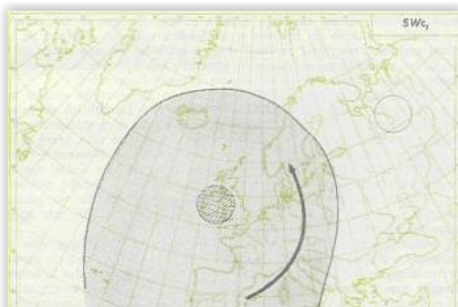
SEa - jihovýchodní anticyklonální sit. (1. sk.)



SEa - jihovýchodní anticyklonální sit. (2. sk.)



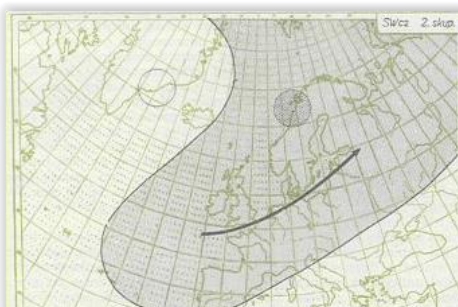
Sa - jižní anticyklonální situace



SWc1 - jihozápadní cyklonální situace



SWc2 - jihozápadní cyklonální sit. (1. skup.)



SWc2 - jihozápadní cyklonální sit. (2. skup.)



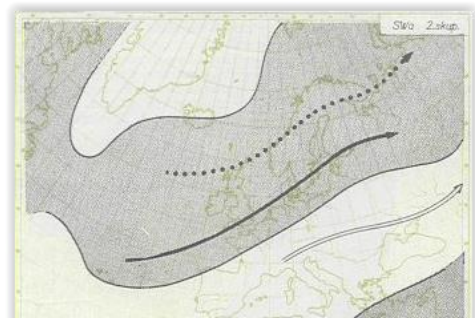
SWc3 - Jihozápadní cyklonální situace

Příloha 2 Grafické vyjádření jednotlivých synoptických situací

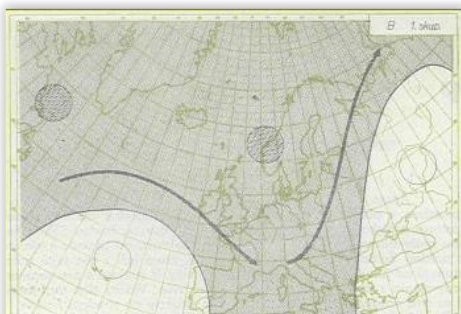
převzato z: <http://portal.chmi.cz/historicka-data/pocasi/typizace-povetnostnich-situaci>



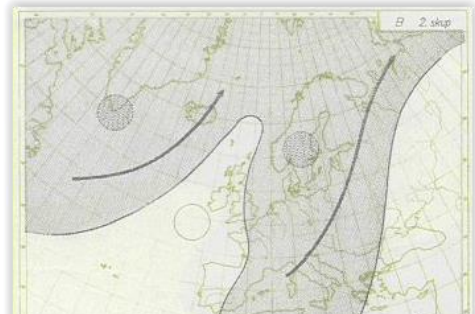
SWa - jihuzápadní anticyklonální sit. (1. skup.)



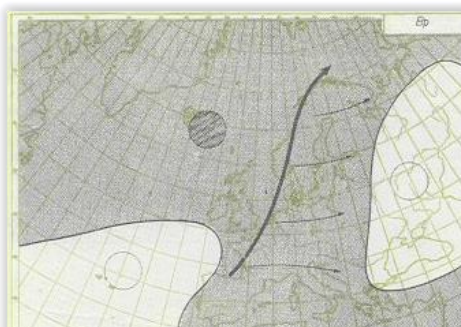
SWa - jihuzápadní anticyklonální sit. (2. skup.)



B - brázda nízkého tlaku nad stř. Evr. (1. skup.)



B - brázda nízkého tlaku nad stř. Evr. (2. skup.)



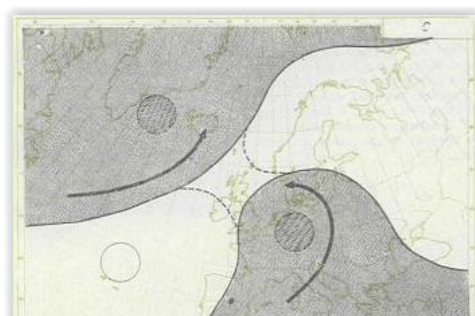
Bp - brázda postupující přes střední Evropu



Vfz - vchod frontální zóny (1. skupina)



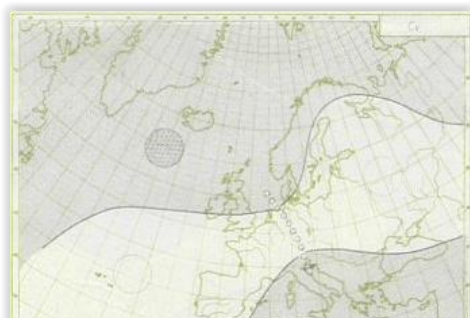
Vfz - vchod frontální zóny (2. skupina)



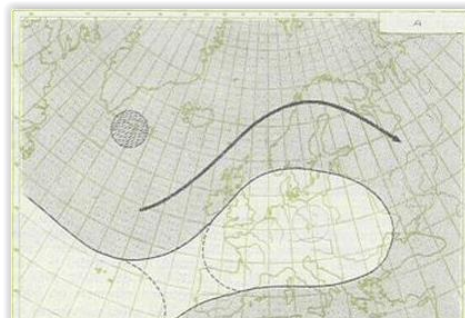
C - cyklona nad střední Evropou

Příloha 2 Grafické vyjádření jednotlivých synoptických situací

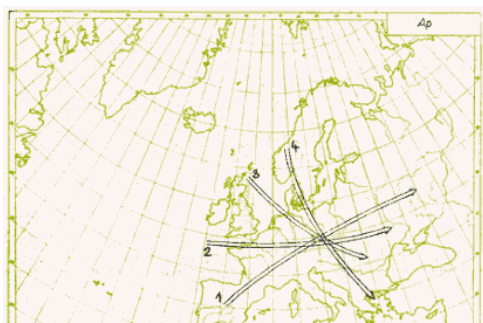
převzato z: <http://portal.chmi.cz/historicka-data/pocasi/typizace-povetnostnich-situaci>



Cv - cyklona výšková



A - anticyklona nad střední Evropou



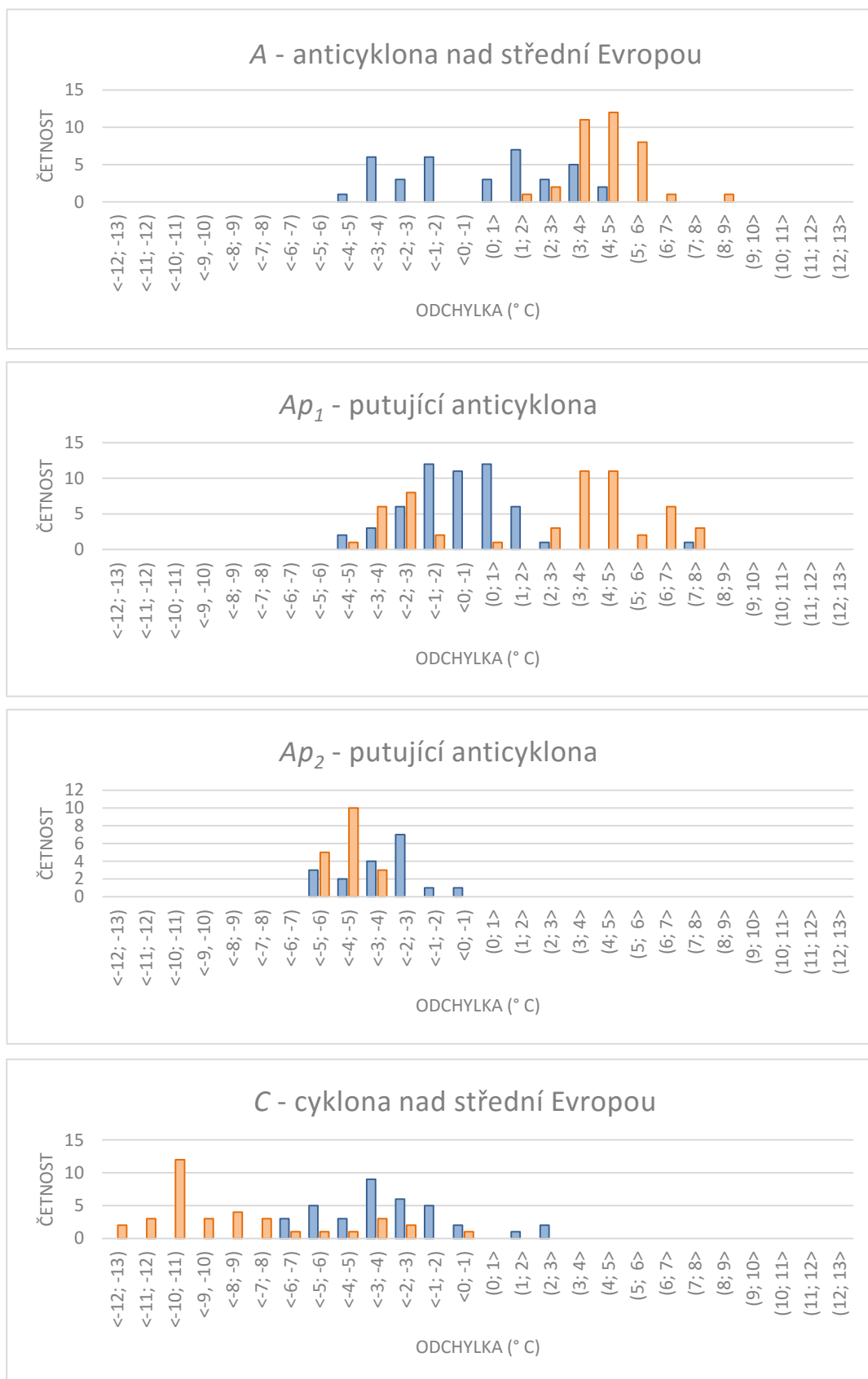
Ap - putující anticyklona

Příloha 3 Kalendář synoptických situací ze dnů 12., 13. a 14. květen v období 1991–2010

Převzato z: <http://portal.chmi.cz/historicka-data/pocasi/typizace-povetnostnich-situaci>

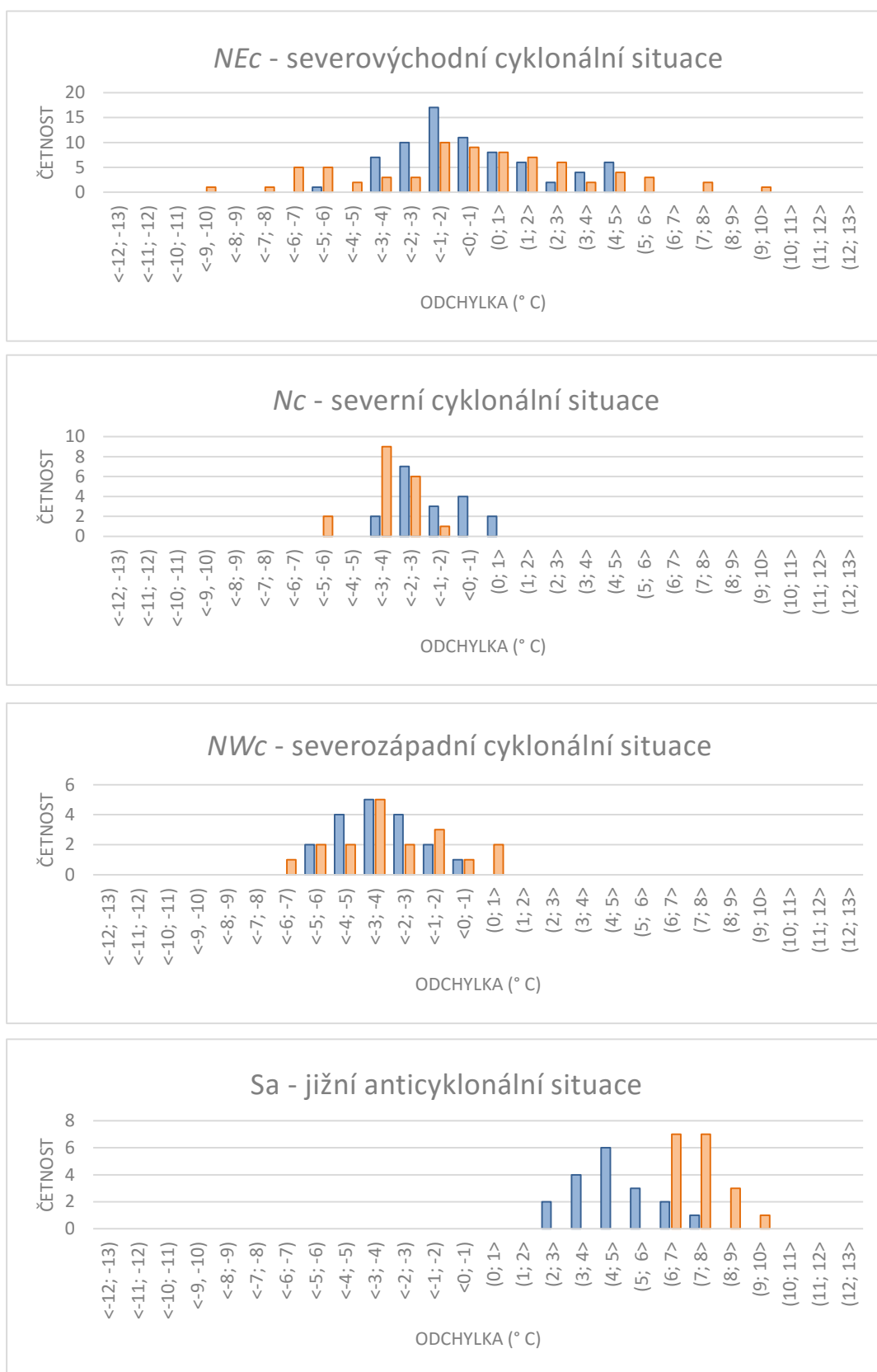
rok	12.5.	13.5.	14.5.	rok	12.5.	13.5.	14.5.	rok	12.5.	13.5.	14.5.	rok	12.5.	13.5.	14.5.
1991	Bp	Bp	NWc	1996	Ec	Ec	Ec	2001	Ap ₃	Ap ₃	SWC ₂	2006	Ap ₃	Bp	Bp
1992	Ap ₁	Ap ₁	A	1997	SWC ₁	SWC ₁	Sa	2002	Bp	Bp	SWC ₂	2007	SWC ₃	Ap ₁	B
1993	SEc	SEc	SWC ₁	1998	SEa	NEc	NEc	2003	SWC ₂	Bp	Bp	2008	NEa	NEa	NEa
1994	Ec	Ec	SWC ₂	1999	SWC ₃	SWC ₃	SWC ₃	2004	NEc	NEc	Ap ₂	2009	Nc	Ap ₃	B
1995	SWC ₃	C	C	2000	NEa	NEa	A	2005	Ap ₃	Ap ₃	SWC ₃	2010	B	B	B

Příloha 4 Histogramy synoptických situací objevující se během 12.–14. května 1991–2010



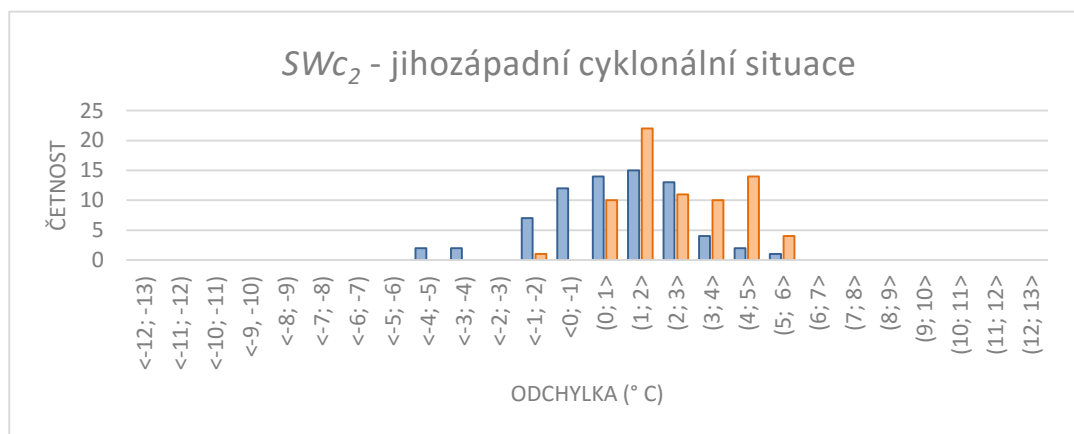
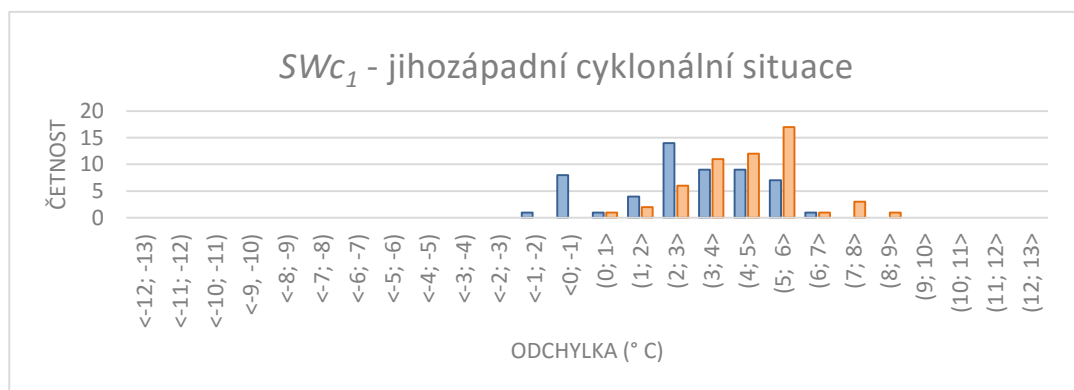
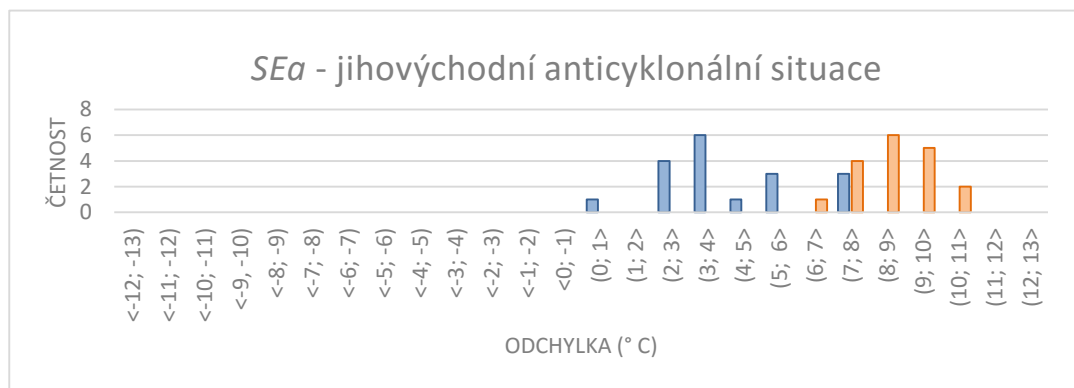
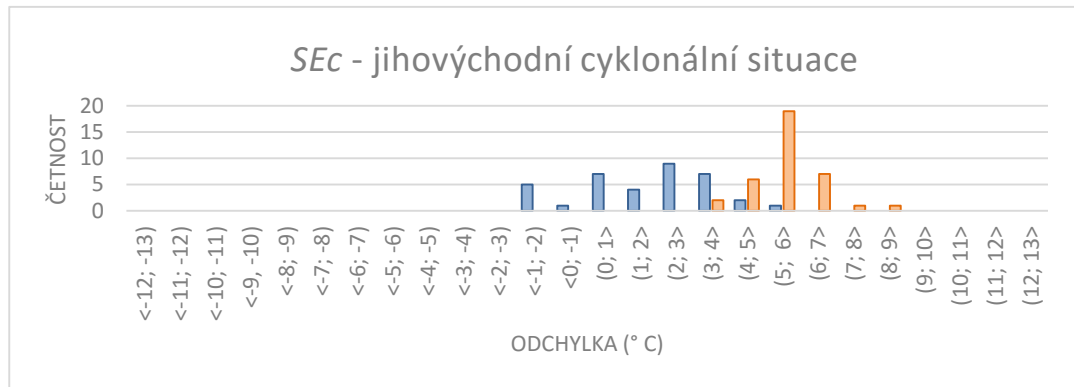
Poznámka k histogramům: odchylky *t min* vyjádřeny modře, odchylky *t max* oranžově

Příloha 4 Histogramy synoptických situací objevující se během 12.–14. května 1991–2010



Poznámka k histogramům: odchyly t_{min} vyjádřeny modře, odchyly t_{max} oranžově

Příloha 4 Histogramy synoptických situací objevující se během 12.–14. května 1991–2010



Poznámka k histogramům: odchyly t_{min} vyjádřeny modře, odchyly t_{max} oranžově

Příloha 5 Tabulka trendů *sumy t min průměrná* u jednotlivých skupin za období 1991–2010

t min		rovnice	trend	R	síla závislosti	R ²	% dat popisující rovnice	p hodnota	statistická významnost
12. 5.	sk1	$y = 9,729 - 0,069 t$	klesající	0,1748	slabá	0,0306	3,06	0,461	nevýznamný
	sk2	$y = 8,062 - 0,087 t$	klesající	0,2377	slabá	0,0565	5,65	0,313	nevýznamný
	sk3	$y = 7,980 - 0,050 t$	klesající	0,1213	slabá	0,0147	1,47	0,615	nevýznamný
	sk4	$y = 7,387 + 0,005 t$	rostoucí	0,0101	slabá	0,0001	0,01	0,966	nevýznamný
	sk5	$y = 5,573 + 0,006 t$	rostoucí	0,0138	slabá	0,0002	0,02	0,954	nevýznamný
13. 5.	sk1	$y = 9,692 - 0,095 t$	klesající	0,2178	slabá	0,0474	4,74	0,356	nevýznamný
	sk2	$y = 8,176 - 0,126 t$	klesající	0,2503	slabá	0,0626	6,26	0,287	nevýznamný
	sk3	$y = 7,808 - 0,075 t$	klesající	0,1823	slabá	0,0332	3,32	0,442	nevýznamný
	sk4	$y = 7,396 - 0,039 t$	klesající	0,0851	slabá	0,0072	0,72	0,721	nevýznamný
	sk5	$y = 5,599 - 0,049 t$	klesající	0,1087	slabá	0,0118	1,18	0,648	nevýznamný
14. 5.	sk1	$y = 8,474 + 0,015 t$	rostoucí	0,0317	slabá	0,001	0,10	0,895	nevýznamný
	sk2	$y = 6,914 - 0,008 t$	klesající	0,0167	slabá	0,0002	0,02	0,944	nevýznamný
	sk3	$y = 7,829 - 0,044 t$	klesající	0,0917	slabá	0,0084	0,84	0,701	nevýznamný
	sk4	$y = 8,153 - 0,087 t$	klesající	0,1606	slabá	0,0258	2,58	0,499	nevýznamný
	sk5	$y = 6,005 - 0,110 t$	klesající	0,2138	slabá	0,0457	4,57	0,365	nevýznamný

Příloha 6 Tabulka trendů *sumy t max průměrná* u jednotlivých skupin za období 1991–2010

t max		rovnice	trend	R	síla závislosti	R ²	% dat popisující rovnice	p hodnota	statistická významnost
12. 5.	sk1	$y = 19,500 + 0,067 t$	rostoucí	0,0995	slabá	0,0099	0,99	0,676	nevýznamný
	sk2	$y = 17,504 + 0,101 t$	rostoucí	0,1359	slabá	0,0185	1,85	0,568	nevýznamný
	sk3	$y = 17,977 + 0,028 t$	rostoucí	0,0406	slabá	0,0016	0,16	0,865	nevýznamný
	sk4	$y = 16,271 + 0,028 t$	rostoucí	0,0382	slabá	0,0015	0,15	0,873	nevýznamný
	sk5	$y = 14,808 + 0,126 t$	rostoucí	0,1663	slabá	0,0277	2,77	0,483	nevýznamný
13. 5.	sk1	$y = 20,322 - 0,025 t$	klesající	0,0400	slabá	0,0016	0,16	0,867	nevýznamný
	sk2	$y = 18,917 - 0,010 t$	klesající	0,0161	slabá	0,0003	0,03	0,946	nevýznamný
	sk3	$y = 18,949 - 0,059 t$	klesající	0,0891	slabá	0,0079	0,79	0,709	nevýznamný
	sk4	$y = 16,763 - 0,036 t$	klesající	0,0551	slabá	0,0030	0,30	0,818	nevýznamný
	sk5	$y = 16,147 + 0,016 t$	rostoucí	0,0244	slabá	0,0006	0,06	0,919	nevýznamný
14. 5.	sk1	$y = 21,649 - 0,168 t$	klesající	0,1930	slabá	0,0372	3,72	0,415	nevýznamný
	sk2	$y = 20,385 - 0,137 t$	klesající	0,1536	slabá	0,0236	2,36	0,518	nevýznamný
	sk3	$y = 20,087 - 0,192 t$	klesající	0,2179	slabá	0,0475	4,75	0,356	nevýznamný
	sk4	$y = 18,337 - 0,202 t$	klesající	0,2337	slabá	0,0546	5,46	0,321	nevýznamný
	sk5	$y = 17,817 - 0,107 t$	klesající	0,1177	slabá	0,0138	1,38	0,621	nevýznamný